

УДК621.37/39.001.5

Г.Я. Михальченко, А.А. Малаханов

## Математическая модель однофазного корректора коэффициента мощности

Приведена численно-аналитическая модель однофазного корректора коэффициента мощности, выполненного на базе одноконтурного преобразователя напряжения повышающего типа. Показана возможность исследования динамики замкнутой системы регулирования.

**Ключевые слова:** корректор коэффициента мощности, широтно-импульсная модуляция, кусочно-гладкие дифференциальные уравнения, бифуркационный анализ.

### Введение

Благодаря использованию высокочастотных импульсных способов регулирования потоков энергии, современные системы преобразования электрической энергии обеспечивают достаточно высокую совместимость преобразователя с нагрузкой, что обуславливает требуемое качество выходного сигнала. Однако основной проблемой при использовании любого преобразовательного устройства является обеспечение электромагнитной совместимости с питающей сетью для исключения помех, распространяемых по сети, и минимизации потерь мощности.

Применение корректоров коэффициента мощности (ККМ), построенных на базе систем с широтно-импульсной модуляцией (ШИМ), позволяет решить задачу электромагнитной совместимости с питающей сетью, уменьшив уровень эмиссии высших гармонических составляющих в потребляемый преобразователем из сети ток. В литературе [1, 2] описываются варианты построения систем с ККМ, однако наибольшее распространение получили корректоры, построенные на базе повышающего преобразователя напряжения, рассматриваемого в данной статье.

Существующие работы, рассматривающие ККМ с позиций теории нелинейной динамики [3–6], лишь частично решают проблему построения точных моделей из-за существенных допущений. Например, входное напряжение преобразователя на тактовом интервале считается постоянным, а расчет длинных рядов численными методами сопровождается накоплением ошибки округления, что в моделях замкнутых систем воспринимается как отклонение и приводит к реализации иных режимов функционирования.

Данная работа является развитием существующих работ [6]. Основная задача, которая ставилась авторами, состоит, прежде всего, в выполнении более жестких требований к процессу моделирования ККМ, что в полной мере позволяет реализовывать бифуркационный подход к проектированию.

### Математическая модель ККМ

На рис. 1 представлена схема замещения ККМ, построенная на базе повышающего преобразователя напряжения, в системе управления которого в качестве модулятора информационных сигналов используется умножитель.

В схеме замещения обозначения имеют следующий смысл:  $u$  – выпрямленное сетевое переменное напряжение  $u = U_m \cdot \sin(\omega t)$ ;  $R$  – сопротивление, характеризующее потери в индуктивности фильтра и преобразователе;  $L$  – индуктивность;  $C$  – емкость;  $R_H$  – сопротивление нагрузки; ИМ – широтно-импульсный модулятор;  $\beta_1$ ,  $\beta_2$  – коэффициенты передачи датчиков обратной связи выходного напряжения и тока дросселя соответственно;  $\beta_3$  – коэффициент передачи датчика входного напряжения; КУ1, КУ2 – корректирующие устройства контуров напряжения и тока соответственно;  $U_s$  – напряжение задания;  $X$  – блок перемножения сигналов; ГРН – генератор развертывающего напряжения;  $\xi(\mathbf{X}, t)$  – разностная функция.

При построении схемы замещения принимались во внимание следующие допущения:

- 1) входной источник питания является идеальным источником напряжения;
- 2) импульсный преобразователь выполнен на идеальных ключах с нулевым временем переключения;

3) элементы  $R, L, C$  линейны; сопротивление  $R$  моделирует суммарное сопротивление индуктивности и сопротивление преобразователя;

4) корректирующие устройства выполнены на базе идеальных элементов.

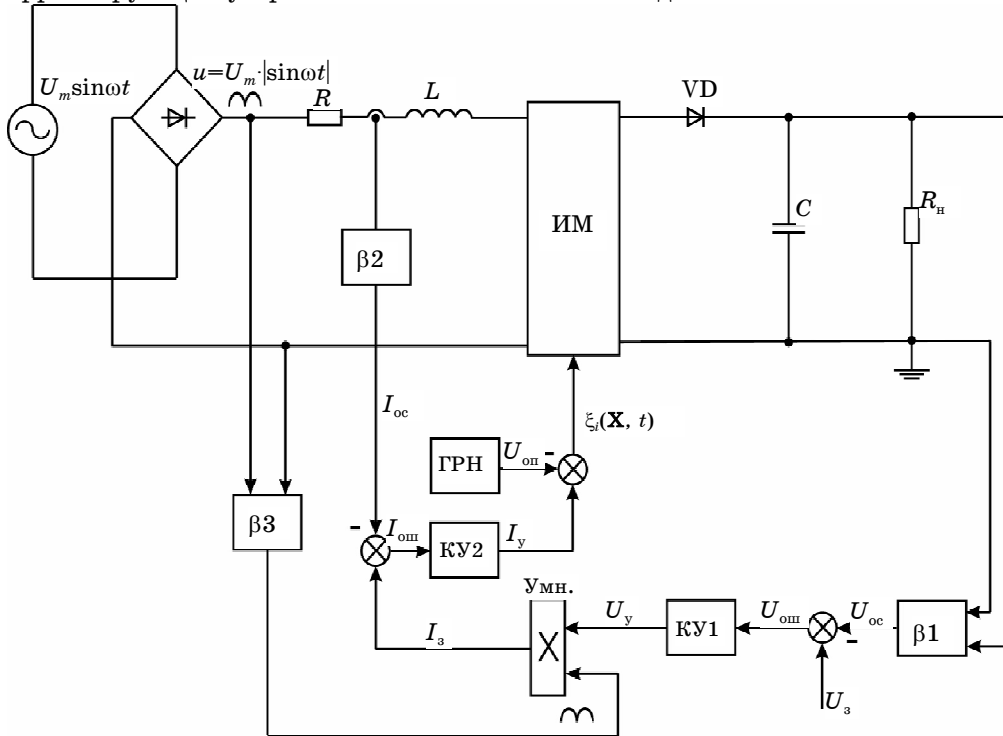


Рис. 1. Схема замещения преобразователя напряжения с ККМ

Схема замещения преобразователя описывается системой нелинейных дифференциальных уравнений с разрывной правой частью

$$\begin{cases} L \cdot \frac{di_L}{dt} = -R \cdot i_L - K_{FD}(\xi(t)) \cdot u_C + u, \\ C \cdot \frac{du_C}{dt} = i_L \cdot K_{FD}(\xi(t)) - \frac{u_C}{R_H}, \end{cases} \quad (1)$$

где  $i_L$  – ток в индуктивности;  $u_C$  – напряжение на емкости фильтра;  $K_{FD}(\xi(t))$  – функция, описывающая коммутацию диода VD.

Разностная функция  $\xi(t)$  принимает вид

$$\xi(t) = \alpha_2 (\alpha_1 (U_3 - \beta_1 \cdot u_C) \cdot \beta_3 \cdot u - \beta_2 \cdot i_L) - U_P(t),$$

где  $\alpha_1, \alpha_2$  – коэффициенты усиления ошибки по выходному напряжению и потребляемому току соответственно;  $U_P(t)$  – развертывающее напряжение.

Коммутационная функция  $K_F(\xi(t)) = 1 - K_{FD}(\xi(t))$  характеризует состояние ключей преобразователя на участках постоянства структуры на каждом периоде ШИМ. С учетом этого коммутационная функция представляется выражением

$$K_F(\xi(t)) = \frac{1}{2} [1 + \text{sign}(\xi(t))].$$

и, как видно из него, принимает два значения – 0 и 1.

Систему (1) можно представить в матричном виде

$$\frac{d\bar{\mathbf{X}}}{dt} = \mathbf{A}(K_F(\xi(t))) \cdot \bar{\mathbf{X}} + \bar{\mathbf{B}}(i_L), \quad (2)$$

где  $\mathbf{A}$  – основная матрица системы, которая является разрывной и может иметь три состояния:  $\mathbf{A}_1, \mathbf{A}_2, \mathbf{A}_3$  – в зависимости от значения коммутационной функции  $K_F$  и

наличия режима прерывистого тока;  $\mathbf{X} = \begin{bmatrix} x_1 \\ x_2 \end{bmatrix} = \begin{bmatrix} i_L \\ u_C \end{bmatrix}$  – вектор переменных состояния;  $\mathbf{B}$  –

вектор вынуждающих воздействий, который также имеет различные значения в зависимости от наличия (отсутствия) режима прерывистого тока дросселя.

Ток может снизиться до нуля только в момент закрытого ключа. Таким образом, разбив рабочий цикл по времени, на три участка непрерывности, выражение (2) преобразуется к виду

$$\frac{d\bar{X}}{dt} = \begin{cases} \mathbf{A}_1 \cdot \bar{X} + \bar{\mathbf{B}}_1, & (k-1)a < t \leq t_{k1}, & K_F = 1, i_L > 0, \\ \mathbf{A}_2 \cdot \bar{X} + \bar{\mathbf{B}}_2, & t_{k1} < t \leq t_{k2}, & K_F = 0, i_L > 0, \\ \mathbf{A}_3 \cdot \bar{X} + \bar{\mathbf{B}}_3, & t_{k2} < t \leq ka, & K_F = 0, i_L = 0. \end{cases} \quad (3)$$

Здесь  $a$  – период следования тактовых импульсов;  $t_{k1}$  – момент коммутации;  $t_{k2}$  – момент снижения тока индуктивности до нулевого значения при работе в режиме прерывистого тока. Если за период следования тактовых импульсов реализуется режим непрерывного тока, то при поиске решения системы можно ограничиться первыми двумя выражениями, т.е.  $t_{k2}$  при этом будет равен  $ka$ .

Система уравнений (1) решается численно-аналитическим методом, при котором тактовый интервал  $a$  разбивается в общем случае на три участка гладкости, границы которых определяют соответствующими поверхностями сшивания:

1. Момент коммутации ключа преобразователя.
2. Момент снижения тока дросселя до нуля.
3. Конец тактового интервала.

Решение задачи Коши (1) в общем виде представляется выражением

$$\bar{X}(t) = e^{\mathbf{A}(t-t_0)} \cdot \bar{X}_0 + e^{\mathbf{A}(t-t_0)} \int_{t_0}^t e^{-\mathbf{A}(\tau-t_0)} \cdot \mathbf{B} \cdot \sin(\omega\tau) d\tau.$$

Раскрыв интеграл, получим решение в виде

$$\begin{aligned} \bar{X}(t) = e^{\mathbf{A}(t-t_0)} \cdot \bar{X}_0 + [e^{\mathbf{A}(t-t_0)} \{ \mathbf{A} \cdot \sin(\omega t_0) + \mathbf{E} \cdot \omega \cdot \cos(\omega t_0) \} - \\ - \{ \mathbf{A} \cdot \sin(\omega t) + \mathbf{E} \cdot \omega \cdot \cos(\omega t) \}] \cdot (\mathbf{A}^2 + \omega^2 \cdot \mathbf{E})^{-1} \cdot \mathbf{B} \cdot \text{sign}(\sin[\omega t]), \end{aligned} \quad (4)$$

которое описывает поведение вектора переменных на каждом участке гладкости. Вектор начальных условий последующего интервала принимается равным значениям переменных состояний в конце предыдущего интервала.

На рис. 2 представлены временные диаграммы, поясняющие положение моментов коммутации. Участки гладкости на рисунке обозначены римскими цифрами. Граница существования каждого участка справа определяется соответствующей поверхностью сшивания. На рис. 3 представлены схемы замещения силовой части преобразователя на этих участках.

Рассмотрим решение (4) системы (1) для каждого из участков непрерывности (3). Согласно принципам формирования импульса [3] функция  $K_F$  может изменить свое значение только один раз в течение каждого временного интервала  $[(k-1)a, ka]$  в точке  $t_{k1}$ , которую будем называть, как в [4], первым моментом коммутации.

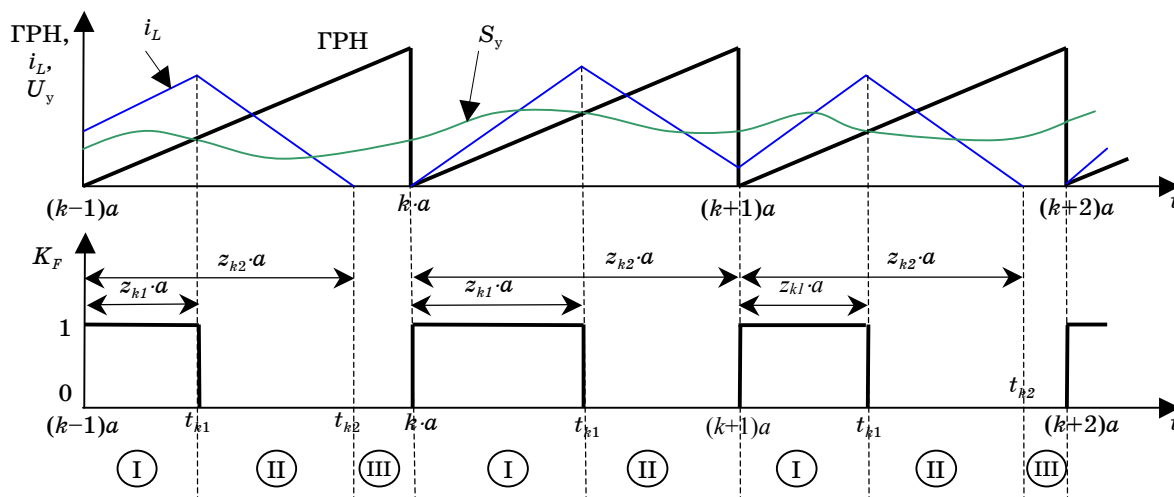


Рис. 2. Временные диаграммы работы системы управления:  
 ГРН – генератор развертывающих напряжений;  $S_y$  – сигнал управления;  
 $i_L$  – ток в дросселе;  $z_{k1}$ ,  $z_{k2}$  – относительные длительности участков гладкости

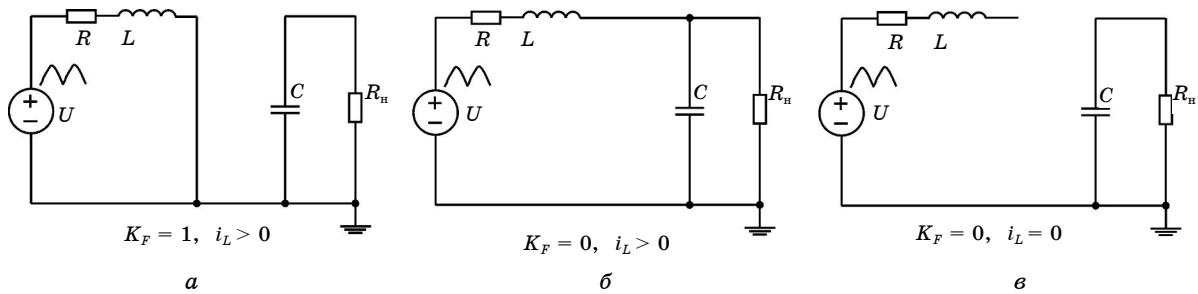


Рис. 3. Схемы замещения силовой части ККМ на участках непрерывности

Момент пересечения токком нулевого значения назовем вторым моментом коммутации ( $t_{k2}$ ). Тогда решение (4) необходимо рассматривать на трех участках постоянства структуры: когда ключ открыт ( $K_F = 1$ ), ключ закрыт ( $K_F = 0$ ), ключ закрыт и ток дросселя равен нулю ( $K_F = 0$ ,  $i_L = 0$ ).

1. Участок слева от момента коммутации:  $(k-1)a \leq t \leq t_{k1}$ . Коммутационная функция на данном участке принимает значение  $K_F = 1$ . Эквивалентная схема замещения преобразователя на этом участке представлена на рис. 3, а.

Основная матрица системы и вектор возмущающих воздействий принимают вид

$$\mathbf{A}_1 = \begin{bmatrix} -\frac{R}{L} & 0 \\ 0 & -\frac{1}{C \cdot R_H} \end{bmatrix}, \quad \bar{\mathbf{B}} = \begin{bmatrix} U_m/L \\ 0 \end{bmatrix},$$

где  $U_m$  – амплитуда входного напряжения.

Учитывая, что начальные условия являются значениями вектора переменных состояний в конце предыдущего участка гладкости  $\bar{\mathbf{X}}_0 = \bar{\mathbf{X}}_{k-1} = \bar{\mathbf{X}}((k-1)a)$ , решение (4) исходной системы (1) на данном участке непрерывности записывается в виде

$$\begin{aligned} \bar{\mathbf{X}}(t) = & e^{\mathbf{A}_1(t-(k-1)a)} \cdot \bar{\mathbf{X}}_0 + [e^{\mathbf{A}_1(t-(k-1)a)} \{ \mathbf{A}_1 \cdot \sin(\omega(k-1)a) + \\ & + \mathbf{E} \cdot \omega \cdot \cos(\omega(k-1)a) \} - \{ \mathbf{A}_1 \cdot \sin(\omega t) + \mathbf{E} \cdot \omega \cdot \cos(\xi t) \}] \times \\ & \times (\mathbf{A}_1^2 + \omega^2 \cdot \mathbf{E})^{-1} \cdot \mathbf{B} \cdot \text{sign}(\sin[\omega t]). \end{aligned}$$

Значение вектора решений  $\bar{\mathbf{X}}$  в момент коммутации  $t_{k1}$ :

$$\begin{aligned} \bar{\mathbf{X}}_{t_{k1}} = & \bar{\mathbf{X}}(z_{k1}) = e^{\mathbf{A}_1 \cdot z_{k1} \cdot a} \cdot \bar{\mathbf{X}}_0 + [e^{\mathbf{A}_1 \cdot z_{k1} \cdot a} \{ \mathbf{A}_1 \cdot \sin(\omega(k-1)a) + \\ & + \mathbf{E} \cdot \omega \cdot \cos(\omega(k-1)a) \} - \{ \mathbf{A}_1 \cdot \sin(\omega(k-1+z_{k1})a) + \\ & + \mathbf{E} \cdot \omega \cdot \cos(\omega(k-1+z_{k1})a) \}] \times \\ & \times (\mathbf{A}_1^2 + \omega^2 \cdot \mathbf{E})^{-1} \cdot \mathbf{B} \cdot \text{sign}(\sin[\omega(k-1+z_{k1})a]). \end{aligned}$$

2. Участок справа от момента коммутации:  $t_{k1} < t \leq t_{k2}$ . Коммутационная функция на данном участке принимает значение  $K_F = 0$ . Схема замещения преобразователя представлена на рис. 3, б.

Основная матрица системы и вектор вынуждающих воздействий на этом участке имеют значения

$$\mathbf{A}_2 = \begin{bmatrix} -\frac{R}{L} & -\frac{1}{L} \\ \frac{1}{C} & -\frac{1}{C \cdot R_H} \end{bmatrix}, \quad \bar{\mathbf{B}} = \begin{bmatrix} U_m/L \\ 0 \end{bmatrix}.$$

Начальными условиями являются значения вектора переменных состояний в момент коммутации ключа  $t_{k1}$

$$\bar{\mathbf{X}}_0 = \bar{\mathbf{X}}_{t_{k1}} = \bar{\mathbf{X}}(t_{k1}).$$

Решение системы (1) на данном интервале непрерывности запишется как

$$\begin{aligned} \bar{\mathbf{X}}(t) = & \mathbf{e}^{\mathbf{A}_2(t-t_{k1})} \cdot \bar{\mathbf{X}}_{t_{k1}} + [\mathbf{e}^{\mathbf{A}_2(t-t_{k1})} \{ \mathbf{A}_2 \cdot \sin(\omega t_{k1}) + \mathbf{E} \cdot \omega \cdot \cos(\omega t_{k1}) \} - \{ \mathbf{A}_2 \cdot \sin(\omega t) + \mathbf{E} \cdot \omega \cdot \cos(\omega t) \}] \times \\ & \times (\mathbf{A}_2^2 + \omega^2 \cdot \mathbf{E})^{-1} \cdot \mathbf{B} \cdot \text{sign}(\sin[\omega t]). \end{aligned}$$

Значение вектора переменных состояний в момент снижения тока до нуля  $t_{k2}$

$$\begin{aligned} \bar{\mathbf{X}}(z_{k2}, z_{k1}) = & \mathbf{e}^{\mathbf{A}_2(z_{k2}-z_{k1})a} \cdot \bar{\mathbf{X}}_{t_{k1}} + [\mathbf{e}^{\mathbf{A}_2(z_{k2}-z_{k1})a} \times \\ & \times \{ \mathbf{A}_2 \cdot \sin(\omega(k-1+z_{k1})a) + \mathbf{E} \cdot \omega \cdot \cos(\omega(k-1+z_{k1})a) \} - \\ & - \{ \mathbf{A}_2 \cdot \sin(\omega(k-1+z_{k2})a) + \mathbf{E} \cdot \omega \cdot \cos(\omega(k-1+z_{k2})a) \}] \times \\ & \times (\mathbf{A}_2^2 + \omega^2 \cdot \mathbf{E})^{-1} \cdot \mathbf{B} \cdot \text{sign}(\sin[\omega(k-1+z_{k2})a]). \end{aligned}$$

3. Участок справа от момента коммутации:  $t_{k2} < t \leq k \cdot a$ . Коммутационная функция на данном участке принимает значение  $K_F = 0$ , а ток дросселя  $i_L = 0$ . Схема замещения преобразователя на этом участке представлена на рис. 3, в.

Основная матрица системы и вектор вынуждающих воздействий на этом участке имеют вид

$$\mathbf{A}_3 = \begin{bmatrix} 0 & 0 \\ 0 & -\frac{1}{C \cdot R_H} \end{bmatrix}, \quad \bar{\mathbf{B}}_3 = \begin{bmatrix} 0 \\ 0 \end{bmatrix}.$$

Начальными условиями для этого интервала гладкости являются значения вектора переменных состояния в момент времени  $t_{k2}$ :

$$\bar{\mathbf{X}}_0 = \bar{\mathbf{X}}_{k2} = \bar{\mathbf{X}}(t_{k2}).$$

Решение системы (1) на данном интервале имеет вид

$$\begin{aligned} \bar{\mathbf{X}}(t) = & \mathbf{e}^{\mathbf{A}_3(t-t_{k2})} \cdot \bar{\mathbf{X}}_{t_{k2}} + [\mathbf{e}^{\mathbf{A}_3(t-t_{k2})} \{ \mathbf{A}_3 \cdot \sin(\omega t_{k2}) + \mathbf{E} \cdot \omega \cdot \cos(\omega t_{k2}) \} - \\ & - \{ \mathbf{A}_3 \cdot \sin(\omega t) + \mathbf{E} \cdot \omega \cdot \cos(\omega t) \}] \cdot (\mathbf{A}_3^2 + \omega^2 \cdot \mathbf{E})^{-1} \cdot \mathbf{B}_3 \cdot \text{sign}(\sin[\omega t]). \end{aligned}$$

Учитывая, что вектор вынуждающих воздействий  $\mathbf{B}_3$  является нулевым, (6) сведется к виду

$$\bar{\mathbf{X}}(t) = \mathbf{e}^{\mathbf{A}_3(t-t_{k2})} \cdot \bar{\mathbf{X}}_{t_{k2}}.$$

В конце такта вектор переменных состояний определяется из выражения

$$\bar{\mathbf{X}}(z) = \mathbf{e}^{\mathbf{A}_3(1-z_{k2})a} \cdot \bar{\mathbf{X}}_{t_{k2}}.$$

Для поиска решения системы (1) необходимо решение на каждом из участков гладкости дополнить алгоритмом поиска моментов коммутации (определение  $z_{k1}$  и  $z_{k2}$ ). Поиск  $z_{k1}$  и  $z_{k2}$  возможен любым из известных численных методов.

#### Результаты математического моделирования

Моделирование проводилось при следующих исходных данных.

*Параметры силовой части:* действующее напряжение сети –  $U_c = 220$  В; напряжение на выходе –  $U_{\text{вых}} = 400$  В; частота коммутации силового ключа –  $f_k = 40$  кГц; индуктивность –  $L = 2,4$  мГн; емкость –  $C = 1000$  мкФ; сопротивление, учитывающее потери в преобразователе, –  $R = 1$  Ом; эквивалентное сопротивление нагрузки –  $R_H = 160$  Ом.

*Параметры системы управления:* делитель выходного напряжения –  $\beta_1 = 0,01$ ; напряжение задания –  $U_3 = 4$  В; делитель тока дросселя –  $\beta_2 = 1$ ; делитель входного выпрямленного напряжения –  $\beta_3 = 0,0032$ ; коэффициент усиления регулятора напряжения –  $\alpha_1 = 20$ ; коэффициент усиления регулятора тока –  $\alpha_2 = 10$ ; амплитудное значение генератора развертывающих напряжений –  $U_{\text{оп}} = 10$  В.

На рис. 4 показаны временные диаграммы работы ККМ для перечисленного набора параметров. Как видно, при пуске системы формируется бросок тока, до уровня 102 А, что обусловлено разряженной емкостью и прямым пуском модели. В реальных преобразователях необходимо избегать прямого пуска и использовать плавный запуск устройства с

целью исключения чрезмерно больших пусковых токов, способных вывести преобразователь из строя.

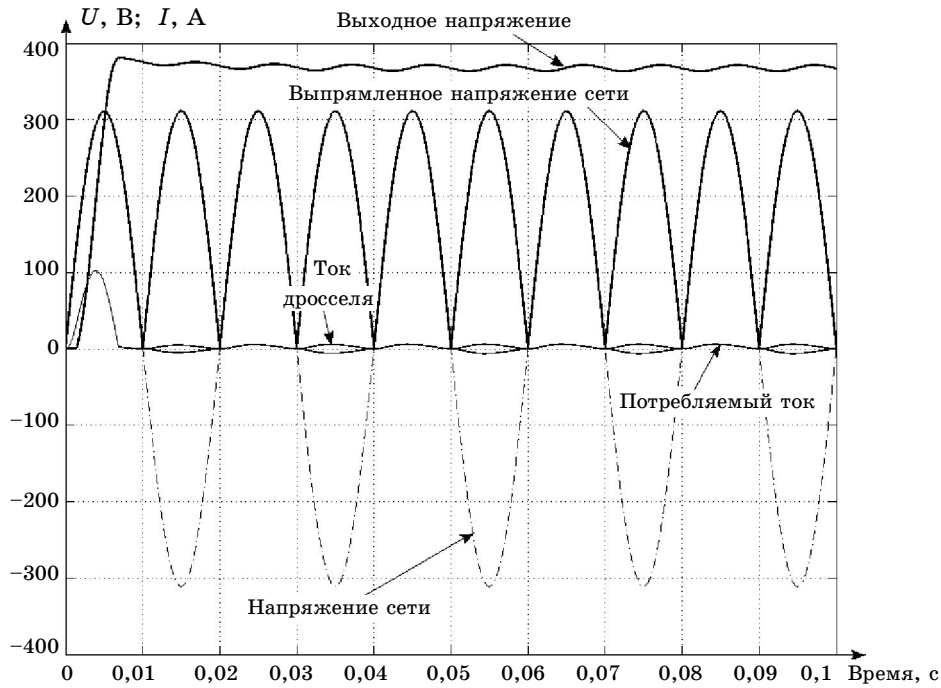


Рис. 4. Мгновенные значения токов и напряжений ККМ

На рис. 5 для примера представлено влияние коэффициента усиления регулятора тока  $a_2$  на быструю динамику потребляемого из сети тока. Для наглядности диаграммы приведены в укрупненном масштабе.

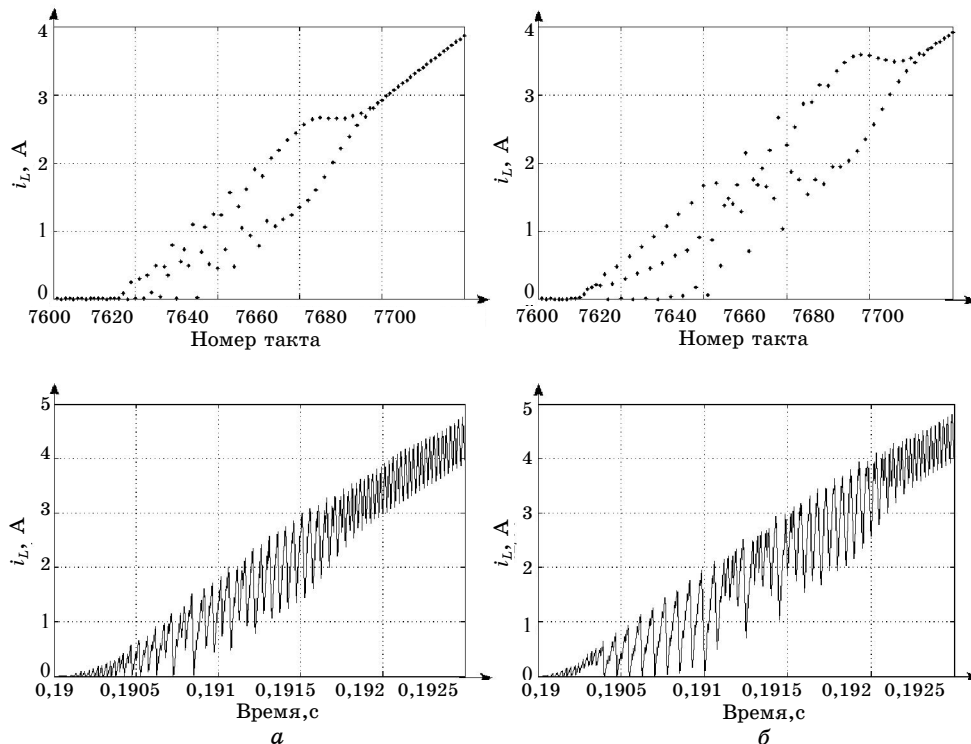


Рис. 5. Бифуркационные и временные диаграммы потребляемого тока:  $a - a_2 = 20$ ;  $b - a_2 = 50$

Из диаграмм видно, что работа преобразователя в течение полупериода сетевого напряжения может осуществляться не только в одноцикловом режиме, но и в режимах с более высокими порядками циклов, в которых наблюдаются колебания тока с увеличен-

ным размахом. Эти явления также имеют влияние на показатели качества функционирования преобразователя и предъявляют более жесткие требования к выбору активных и пассивных элементов схемы.

#### **Выводы**

1. Разработана численно-аналитическая модель однофазного ККМ, учитывающая наличие синусоидального входного воздействия и режима прерывистого тока дросселя.
2. Используемый авторами подход позволяет исследовать как медленные, так и быстрые динамические процессы в ККМ, а также проводить оптимизацию параметров системы.

#### *Литература*

1. Tse C.K. Theoretical Study of Switching Power Converters with Power Factor Correction and Output Regulation / C.K. Tse, M.H.L. Chow // IEEE Transactions on Circuits and Systems – I: Fundamental Theory and Applications. – 2000. – Vol. 47, № 7 (July). – P. 1147–1155.
2. Статические компенсаторы реактивной мощности в электрических системах: пер. тематического сб. рабочей группы исслед. ком. N39 СИГРЭ / Под ред. И.И. Карташева. – М.: Энергоатомиздат, 1990. – 174 с. – (Энергетика за рубежом).
3. Andriyanov A.I. A Comparative Characteristic of Different Kinds of Pulse-Width Respect to the Topology of Regions of Existence of Periodic Operating Conditions / A.I. Andriyanov, G.Ya. Mikhailchenko // Electrical Technology. – 2004. – № 4. – P. 166–181.
4. Баушев В.С. О недетерминированных режимах функционирования стабилизатора напряжения с широтно-импульсным регулированием / В.С. Баушев, Ж.Т. Жусубалиев // Электричество. – 1992. – № 8. – С. 47–53.
5. Алейников О.А. Исследование локальной устойчивости периодических режимов в нелинейных импульсных системах / О.А. Алейников, В.С. Баушев, А.В. Кобзев, Г.Я. Михальченко // Электричество. – 1991. – № 4. – С. 16–21.
6. Iu H.H.C. Fast-scale instability in a PFC boost converter under average current mode control / H.H.C. Iu, Y. Zhou, C.K. Tse // Int. J. Circuit Theory Appl. – 2003. – Vol. 31, № 6. – P. 611–624.

---

#### **Михальченко Геннадий Яковлевич**

Д-р техн. наук, проф. кафедры промышленной электроники ТУСУРа  
Тел.: (382-2) 41-32-32  
Эл. почта: mail@comprel.ru

#### **Малаханов Алексей Алексеевич**

Канд. техн. наук, доцент кафедры электронных, радиоэлектронных и электротехнических систем  
Брянского гос. тех. университета  
Тел.: (483-2) 56-36-02  
Эл. почта: aep@bitmcnit.bryansk.ru

G.Ya. Mikhailchenko, A.A. Malakhanov

#### **Mathematical model of single-phase power factor corrector**

A numerically-analytical model of the single-phase power factor corrector, which is based on the single-cycle voltage increasing type converter, is presented. The possibility of dynamics research of the closed loop regulation system is analyzed. Tendencies in changes of the energy characteristics of a converter are evaluated for sorting choice of passive components parameters.

**Key words:** corrector of a power factor, pulse-width modulation, partially-linear differential equations, bifurcation analysis, power indicators.